

# Zum Wärmehaushalt von Freiluftschwimmbädern

Autor(en): **Trepp, Christian**

Objekttyp: **Article**

Zeitschrift: **Schweizer Ingenieur und Architekt**

Band (Jahr): **97 (1979)**

Heft 45

PDF erstellt am: **16.07.2024**

Persistenter Link: <https://doi.org/10.5169/seals-85576>

## **Nutzungsbedingungen**

Die ETH-Bibliothek ist Anbieterin der digitalisierten Zeitschriften. Sie besitzt keine Urheberrechte an den Inhalten der Zeitschriften. Die Rechte liegen in der Regel bei den Herausgebern.

Die auf der Plattform e-periodica veröffentlichten Dokumente stehen für nicht-kommerzielle Zwecke in Lehre und Forschung sowie für die private Nutzung frei zur Verfügung. Einzelne Dateien oder Ausdrucke aus diesem Angebot können zusammen mit diesen Nutzungsbedingungen und den korrekten Herkunftsbezeichnungen weitergegeben werden.

Das Veröffentlichen von Bildern in Print- und Online-Publikationen ist nur mit vorheriger Genehmigung der Rechteinhaber erlaubt. Die systematische Speicherung von Teilen des elektronischen Angebots auf anderen Servern bedarf ebenfalls des schriftlichen Einverständnisses der Rechteinhaber.

## **Haftungsausschluss**

Alle Angaben erfolgen ohne Gewähr für Vollständigkeit oder Richtigkeit. Es wird keine Haftung übernommen für Schäden durch die Verwendung von Informationen aus diesem Online-Angebot oder durch das Fehlen von Informationen. Dies gilt auch für Inhalte Dritter, die über dieses Angebot zugänglich sind.

# Zum Wärmehaushalt von Freiluftschwimmbädern

Von Christian Trepp, Zürich

Freiluftschwimmbäder stehen in einem dauernden Wärmeaustausch (und Stoffaustausch) mit ihrer Umgebung, und die Wassertemperatur strebt laufend dem jeweiligen Gleichgewichtszustand mit dieser Umgebung zu. Im Schweizerischen Mittelland liegt diese Gleichgewichtstemperatur nur während kurzer Perioden im Jahr wesentlich über 20°C. In diesem Beitrag werden die Wärmeverluste bzw. -gewinne eines offenen und eines abgedeckten Schwimmbades berechnet und die Berechnungen werden zum Schluss mit einigen ausgeführten Messungen verglichen. Für die Berechnung wählen wir einen Aufstellungsort im Schweizerischen Mittelland (47° nördlicher Breite, 7° 30' östlicher Länge). Der Anschaulichkeit halber, d. h. um einen guten Begriff der vorkommenden Wärmeleistungen zu geben, wählen wir eine Anlage bestimmter Grösse, und zwar ein verhältnismässig kleines Objekt mit einem Wasservolumen von 50 m<sup>3</sup> und einer Oberfläche von 36 m<sup>2</sup> (4x9 m).

## Wärmeverluste

Für unsere Berechnungen nehmen wir jeweils *stationäre Verhältnisse* an. Die *Wärmeverluste* setzen sich aus folgenden, durch verschiedene Mechanismen bewirkte Anteile zusammen:

- Wärmeabgabe ans Erdreich (durch Wärmeleitung)
- Wärmeabgabe von der Wasseroberfläche an die Luft (durch Konvektion und Verdunstung)
- Wärmeabstrahlung gegen den Welt- raum.

Der *Wärmegewinn* stammt einzig und allein von der direkten Sonneneinstrahlung.

### Wärmeabgabe ans Erdreich

Für die in Bild 1 angegebene Konstruktion erhalten wir bei angenommener Bodentemperatur  $T_b = 10^\circ\text{C}$  und bei einer Wassertemperatur von  $25^\circ\text{C}$  unter Verwendung der in Bild 1 angegebenen Stoffwerte als Wärmeverluste durch die Seitenwände 216 W, durch den Boden 704 W, also insgesamt einen Wärmeleitungsverlust von 920 W.

Je nach Witterungsverhältnissen sind die Wärmeverluste an der Oberfläche eines offenen Bades beträchtlich grösser als die durch Leitung an die Umgebung, denn insbesondere zufolge der Verdunstung von Wasser in relativ trockene Luft hinein kühlt sich das Wasser

recht stark ab, weil von dem verbleibenden Wasser die grosse Verdampfungswärme aufgebracht werden muss.

### Wärmeübertragung an der Wasseroberfläche

Für unsere einfache Rechnung betrachten wir die *Badoberfläche als eine längs-angeströmte Platte*. Unter der Annahme von Turbulenzbeginn am Plattenrand, d. h. bei  $x = 0$ , gilt für die örtliche *Nusseltzahl* für Luft

$$(1) \quad Nu_x = 0,0230 \operatorname{Re}_x^{0,8}$$

$$\operatorname{Re} = \frac{w \cdot x}{\nu} \quad Nu = \frac{\alpha \cdot x}{\lambda}$$

Aus dieser Gleichung können wir bei bekannten Stoffdaten von Luft für verschiedene Windgeschwindigkeiten  $w$ , abhängig vom Ort  $x$ , die Wärmeübergangszahlen  $\alpha$  berechnen. Im System Wasserdampf-Luft gestattet die recht einfache *Lewis-Beziehung*, aus der Wärmeübergangszahl  $\alpha$  einfach die auf die Wasserdampfbeladung  $X$  bezogene Stoffübergangszahl  $\beta_x$  zu berechnen.

$$(2) \quad \frac{\beta_x \cdot c_p}{\alpha} = 1 \quad (\text{Lewis Beziehung})$$

Für die örtliche Wärmeübergangszahl  $\alpha_x$  gilt:

$$(3) \quad \alpha_x = \frac{\lambda}{x} \cdot Nu_x$$

und für die örtliche Stoffübergangszahl  $\beta_x$ :

$$(4) \quad \beta_x = \frac{\lambda}{x \cdot c_p} \cdot Nu_x$$

Für die numerische Auswertung finden folgende Stoffdaten Verwendung:

*Stoffdaten für Luft und Wasser bei 20°C*

- Luft:  $\lambda = 0,026 \text{ W/mK}$   
 $c_p = 1007 \text{ J/kg K}$   
 $\nu = 15 \cdot 10^{-6} \text{ m}^2/\text{s}$

Wasser: Verdampfungswärme

$$\Delta h_v = 2442 \text{ kJ/kg}$$

Die pro Flächeneinheit durch Konvektion abgeführte Wärme beträgt

$$(5) \quad q_{\alpha, x} = \alpha_x \cdot (T_w - T_u)$$

Ist die Umgebungstemperatur höher als die Wassertemperatur, so führt der konvektive Wärmeübergang zu einer Behei-

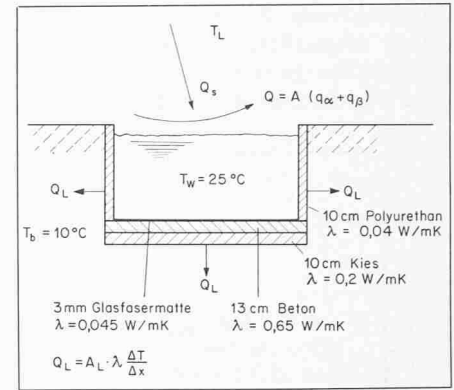


Bild 1. Schematische Darstellung der Wärmeströme, Dimensionen und Zahlenwerte

zung der Wasseroberfläche. Die beim Verdunsten (Stoffübergang) abgeführte Wärme beträgt (ebenfalls pro Flächeneinheit)

$$(6) \quad q_{\beta, x} = \beta_x \cdot (X_\delta - X_u) \cdot \Delta h_{v, \text{Wasser}}$$

Dieser Mechanismus führt immer zu einer Abkühlung des Wassers, so lange die Beladung der Umgebungsluft mit Feuchtigkeit geringer ist, als die Sättigungsfeuchtigkeit bei der Wassertemperatur.

Insgesamt beträgt der *Wärmeverlust*

$$(7) \quad q_x = q_{\alpha, x} + q_{\beta, x}$$

In einem Zahlenbeispiel ergeben sich folgende Wärmeverluste pro Flächeneinheit (W/m<sup>2</sup>):

Umgebungstemperatur  $T_u = 25^\circ\text{C}$

Wassertemperatur  $T_w = 20^\circ\text{C}$

Umgebungsfeuchtigkeit  $X_u = 9 \times 10^{-3} \text{ kg/kg}$  Mittelwert von Zürich bei  $25^\circ\text{C}$

Sättigungsfeuchtigkeit bei  $20^\circ\text{C}$   $X_s = 14,8 \times 10^{-3} \text{ kg/kg}$

Windgeschwindigkeit  $w = 3 \text{ m/s}$

Angströmlänge $x$ (m)	$q_{\alpha, x}$	$q_{\beta, x}$	$q_x$
1	-52,1	+146,4	+94,3
3	-45,3	+127,4	+82,2
6	-36,4	+102,3	+65,9
9	-33,5	+94,4	+60,9

*Wärmeverluste in W/m<sup>2</sup>, abhängig von der Angströmlänge  $x$  für obige Umgebungsbedingungen*

Für die Gleichung (1) können wir auch eine integrale Form finden. Sie lautet:

$$(8) \quad \frac{1}{L} \int_{x=0}^{x=L} Nu_x \, dx = Nu_L \cdot 0,288 \operatorname{Re}_L^{0,8}$$

Die Gleichung (8) zusammen mit den vorher abgeleiteten Beziehungen für den Stoffübergang wurden für verschiedene Verhältnisse ausgewertet und sie

möglichkeiten bieten sich *Rolladen aus Kunststoff*, z. B. *Hart-PVC* an. Aus diesem Material lassen sich u. a. auch *Hohlprofile* pressen, womit sich angenä-

Zu diesem Wert ist noch ein Zuschlag zu machen, da die Oberfläche nicht ganz abgeschlossen ist. Auf diesen Punkt kommen wir später bei der Besprechung der Messwerte nochmals zurück.

Im folgenden wird das Vorgehen bei der Berechnung der an einem klaren Tag von der Sonne im Mittelland (die Daten beziehen sich auf Bern) in ein Schwimmbad durch die Abdeckung eingestrahlt und absorbierten Energie  $E$  behandelt. Diese Rechnung berücksichtigt nur die Einstrahlung, auf die nächtliche Abstrahlung kommen wir dann später noch zu sprechen.

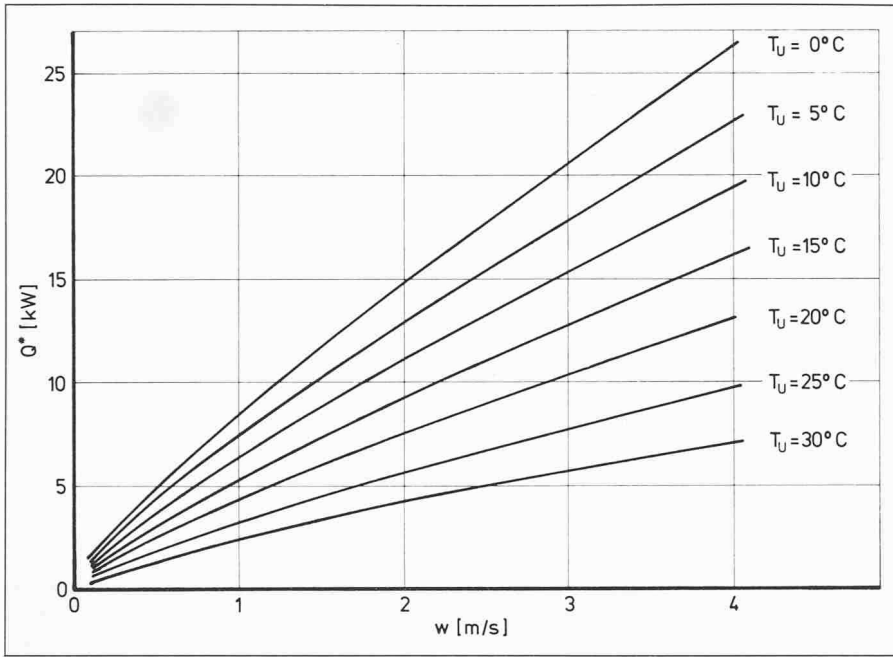


Bild 2. Wärmeverluste der Wasseroberfläche (36 m<sup>2</sup>), abhängig von Umgebungstemperatur  $T_u$  und Windgeschwindigkeit  $w$ . Wassertemperatur: 25°C

sind in Bild 2 für eine Wassertemperatur von 25°C und mittleren Verhältnissen der Luftfeuchtigkeit aufgetragen. Demnach treten also bei diesen Wassertemperaturen auch bei recht hoher Lufttemperatur immer noch Wärmeverluste in der Grössenordnung von 0–10 kW auf. Der Hauptanteil davon geht auf Konto der Verdunstung. Um die Wärmeverluste an der Oberfläche zu verringern, ist es nicht unüblich, die Wasseroberfläche zu bedecken, z. B. mit Folien oder auch mit Rolladen. Vom Standpunkt der Sicherheit her sind wegen ihrer recht grossen Tragkraft Rolladen zu bevorzugen, wobei diese so ausgeführt werden können, dass – mit dem Wasser als tragendem Element – sie auf der Oberfläche schwimmen. Von den Strahlungseigenschaften her sehr günstig wäre z. B. eine *Doppelverglasung*. Mit dieser liesse sich der bekannte *Treibhauseffekt* erzielen, weil das Glas für die vom Bad ausgehende langwellige Wärmestrahlung fast undurchlässig ist, hingegen das vorwiegend kurzwellige Sonnenlicht ins Wasser eintreten lässt, wo es praktisch vollständig absorbiert wird. Auf der Suche nach einem günstigen Kompromiss zwischen Sicherheit, Strahlungsdurchlässigkeit und Herstell-

hert eine «Doppelverglasung» in Form eines Rolladens herstellen lässt (Bild 3). Ein typisches Transmissionsspektrum von einem für solche Rolladen geeigneten Material ist dargestellt in Bild 7. Wird die ganze Wasseroberfläche von einem solchen Rolladen bedeckt, dann reduziert sich die an die Umgebung abgegebene Wärmemenge beträchtlich, denn nun ist nur noch die Wärmeleitung im Hohlprofil (Luft) zu berücksichtigen.

Für  $\Delta T$  von 10 K ergibt sich bei einem Luftspalt von 8 mm

$$Q^* = 0,024 \cdot 36 \cdot \frac{10}{8 \cdot 10^{-3}} = 1 \text{ kW}$$

### Berechnung der Energiestromdichte der Strahlung

Mit guter Näherung kann man die Sonne als schwarzen Strahler von 6000 K betrachten, der unter einem Raumwinkel  $\beta = 6,8 \cdot 10^{-5}$  auf die Erde strahlt.

Nach der Plank'schen Strahlungsformel gilt somit für die Energiestromdichte  $I_S(\lambda)$

$$(9) \quad I_S(\lambda) d\lambda = \beta \cdot \frac{2h \cdot c^2}{\lambda^5} \cdot \frac{1}{\exp\left(\frac{h \cdot c}{k \cdot \lambda \cdot T}\right) - 1} d\lambda$$

$I_S(\lambda)$  ist in Bild 4 dargestellt.

Einen Teil dieser Strahlung absorbiert die Erdatmosphäre. Je nach Einfallswinkel der Sonne ändert sich aber die durchstrahlte Luftschichtdicke und damit der Transmissionskoeffizient  $\Theta$  der Atmosphäre.

Es gilt

$$\Theta(\lambda, \alpha) = \Theta \sin(\lambda, 90^\circ)$$

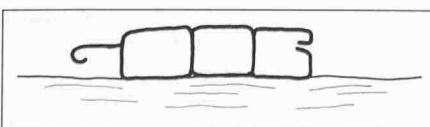


Bild 3. Beispiel des Hohlprofils für eine Abdeckung (auf der Wasseroberfläche schwimmend)

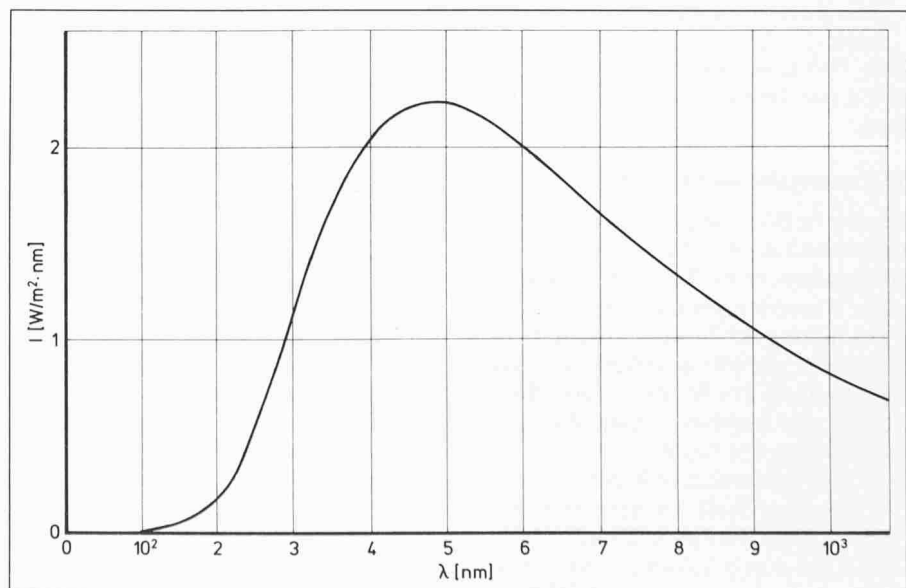


Bild 4. Strahlung bei 6000 K (Sonne) und einem Raumwinkel von  $6,8 \cdot 10^{-5}$  [nach Glg. (9)]

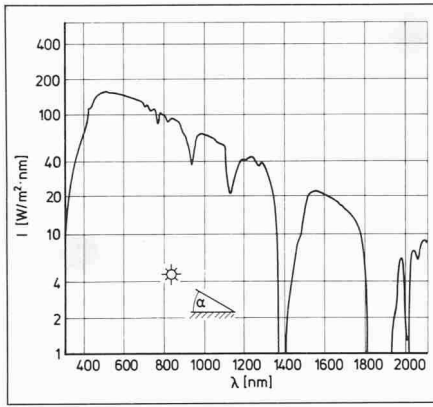


Bild 5. Transmissionskoeffizient der Atmosphäre

Die Werte für  $\Theta$  ( $90^\circ$ ) sind einem Diagramm von E.G. Laue: («The measurement of solar spectral irradiance at different terrestrial elevations»). Solar Energy Vol. 13(1970, p. 43-57) entnommen (vgl. Bild 5). Da die Strahlung eine gerichtete Grösse ist, bestimmt auch noch der Einfallswinkel auf die bestrahlte Fläche die Grösse der auf sie einstrahlten Energiestromdichte. Damit ergibt sich für eine horizontale Fläche mit der obigen Definition von  $\alpha$  die Strahlungsenergiestromdichte  $I_0$

$$(10) \quad I_0(\alpha, \lambda) = I_A(\lambda) \cdot \Theta^{\sin \alpha} \cdot \frac{\sin \alpha}{\text{statt } \cos(90-\alpha)}$$

vgl. Bild 6.

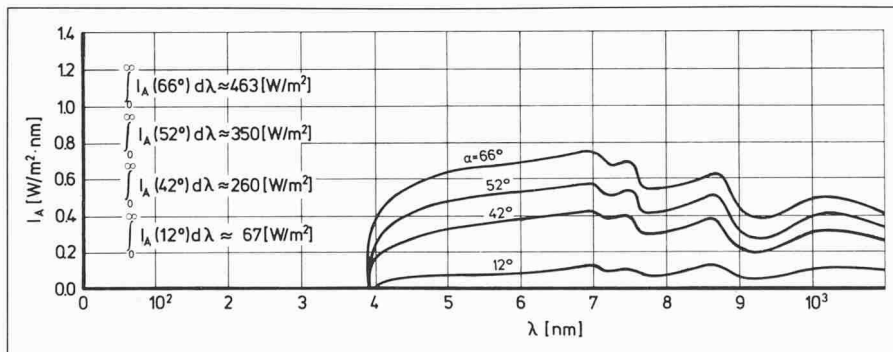


Bild 6. Strahlungsintensität der Sonne in Abhängigkeit von Einfallswinkel  $\alpha$ . (Längerer Weg durch die Atmosphäre und nicht senkrechter Einfall berücksichtigt.)

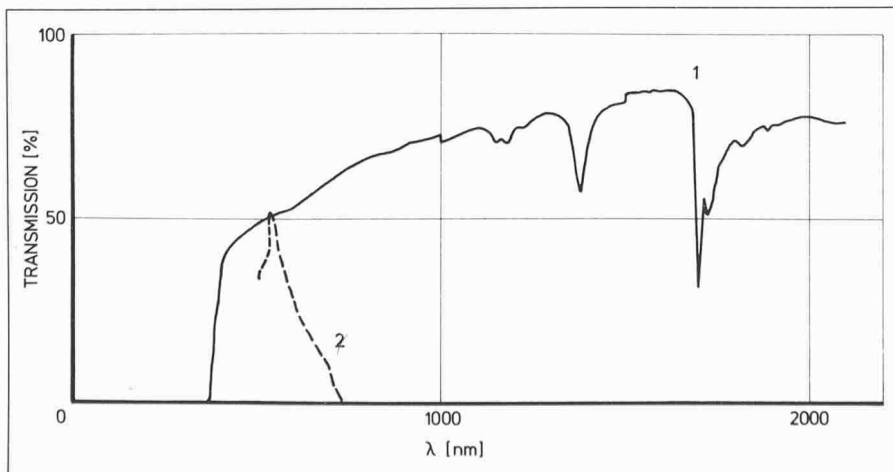


Bild 7. Transmissionspektren  
Kurve 1: eine PVC-Wand = 1 mm dick    Kurve 2: Wasserschicht von 4 m

Es zeigt sich ferner, dass sich die numerische Berechnung der gesamten Energiestromdichte

$$\int_0^\infty I_i(\lambda, \alpha) d\lambda$$

im Rahmen der hier möglichen Genauigkeit vereinfacht bestimmen lässt mit

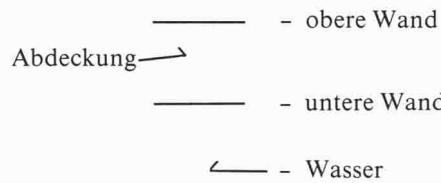
$$(11) \quad \int_0^\infty I_0(\lambda, \alpha) d\lambda = \phi I_0(5000 \text{ \AA}, \alpha)$$

### Berechnung der absorbierten Strahlung

#### Annahmen

Die Berechnung der Strahlungsabsorption im Schwimmbad basiert auf den Annahmen:

- dass bei der Abdeckung nur der von der unteren Wand absorbierte Strahlungsanteil der Energieaufnahme des Wassers hinzuzurechnen ist;



- dass die (abgeschwächte) Strahlung unabhängig vom Einfallswinkel nach Durchlaufen einer 4 m dicken Wasserschicht durch die Abdeckung wieder austritt;
- dass die Absorption am Boden und den Seitenwänden zu vernachlässigen ist.

### Transmissionskoeffizienten von Abdeckung und Wasser

Für den Transmissionskoeffizienten  $\Theta_W$  einer Abdeckungswand liegen für senkrechten Einfall Messwerte vor (vgl. Bild 7).

Für den schrägen Einfall ist angenommen

$$\Theta_W(\alpha) = \Theta_W^{\sin \alpha}$$

Da der Brechungsindex  $n(\lambda)$  der Wand nicht bekannt ist, ist der ungünstigste Fall  $n = 1$  angenommen ( $\lambda$ : Wellenlänge). Im Transmissionskoeffizienten  $\Theta_W$  ist auch der Verlust durch Reflexion enthalten. Dieser ist aber bei nicht diffuser Reflexion ebenfalls vom Einfallswinkel abhängig (Fresnelsche Gleichungen). Das wurde nicht berücksichtigt, da  $n(\lambda)$  und die Struktur der Oberfläche unbekannt sind, sondern es wurde angenommen, die Reflexion sei diffus und damit der reflektierte Anteil unabhängig vom Einfallswinkel. Der so berechnete Transmissionskoeffizient wird also nur als Funktion der Materialstärke betrachtet. Den Transmissionskoeffizienten von Wasser gibt Bild 7 wieder (nach Landolt-Börnstein).

### Resultate

Unter diesen Voraussetzungen und Annahmen gilt für die Strahlungsintensität  $I_A$ , die von der unteren Wand der Abdeckung (auf dem Hin- und Rückweg) und von einer 4 m dicken Wasserschicht absorbiert wird, nachdem die Sonnenstrahlung die Erdatmosphäre und die obere Wand der Abdeckung durchlaufen hat:

$$(12) \quad I_A(\lambda, \alpha) \left[ \frac{W}{m^2 \cdot 10^8 \text{ \AA}} \right] = I_0(\lambda, \alpha) \Theta_{\text{Wand}}^{\sin \alpha} \cdot \left( 1 - \Theta_{\text{Wasser}} \left( \Theta_{\text{Wand}}^{\sin \alpha} \right) \right)$$

Einige so berechnete Werte zeigt Bild 8.

Entsprechend wie bei Gleichung (11) gilt für die Integration über die Wellenlängen [d. h. für die im gesamten Sonnenspektrum absorbierte Strahlung  $I_A(\alpha)$ ] ungefähr:

$$\int_0^\infty I_A(\lambda, \alpha) d\lambda \approx \phi I_A(6000 \text{ \AA}, \alpha)$$

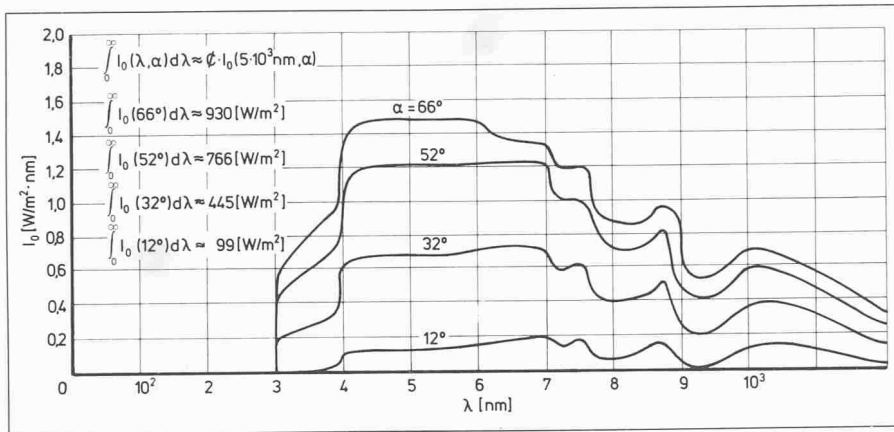


Bild 8. Spektrale Verteilung der vom Wasser absorbierten Strahlung

Die Integration der pro Fläche im Schwimmbad absorbierten Strahlungsintensität über die Zeit  $t$  entsprechend dem Sonnenstand (Einfallswinkel  $\alpha$ ) für einzelne Tage erhält man leicht mit der Vereinfachung

$$\begin{aligned}
 & \int_{1 \text{ Tag}} \int_{\lambda=0}^{\infty} I_A(\alpha(t), \lambda) d\lambda dt \\
 (13) \quad & \approx \sum_{t=5}^{20h} \left( \int_{\lambda=0}^{\infty} I_A(\alpha(t), \lambda) d\lambda + \int_{\lambda}^{\infty} I_A(\alpha(t+1), \lambda) d\lambda \right) \cdot \frac{3600}{2}
 \end{aligned}$$

Daraus ergibt sich folgende Sonnenstrahlungsenergieaufnahme  $E$  des Schwimmbades pro  $m^2$  Abdeckfläche und Tag bzw. der Einstrahlung zuzurechnende dauernde mittlere (auf 24 h bezogen) Heizleistung  $Q_J^*$  für  $36 m^2$  in kW (Tabelle 1).

Tabelle 1. Sonnenstrahlungsenergieaufnahme

Tag	$E$ [ $\frac{MJ}{m^2}$ ]	$Q_{Str}^*$ [ $\frac{kW}{36 m^2}$ ]
21. Juni	12	5
1. Juni und 15. Juli	12	5
15. Mai und 1. Aug.	11	4,6
1. Mai und 15. Aug.	9,4	3,9
15. April und 1. Sept.	7,4	3,1

### Vergleich der Rechenwerte mit Messungen

Sinnvoll durchgeführte Messungen geben sicher die gleichen Ergebnisse wie eine korrekte theoretische Berechnung, dienen hier also zur Kontrolle, ob die für die Berechnung gemachten Voraussetzungen nicht allzu vereinfachend waren.

Bei der Messung dienten Kupfer-Konstantan Thermolemente als Temperaturfühler, für die Messeinrichtung verwendeten wir abgeschirmte Kabel, Nullpunktthermostat, Kompensationschreiber. Die Wassertemperatur wurde anfänglich an zwei Orten im Becken auf je drei verschiedenen Niveaus gemessen. Später – als der Einfluss der Wasse-

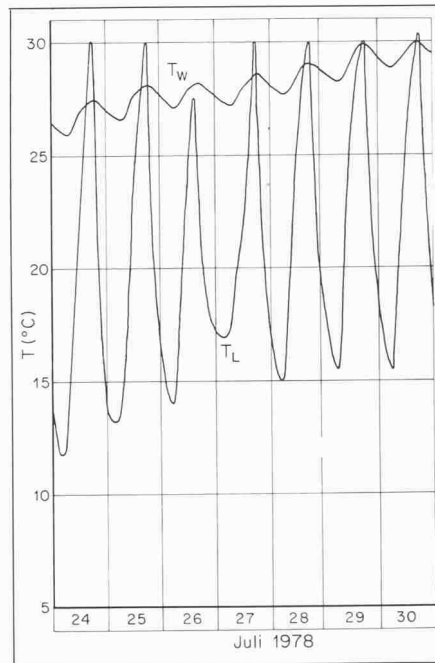


Bild 9. Wasser- und Lufttemperaturen  $T_W$  und  $T_L$  in der Zeit vom 24.-30.7.1978

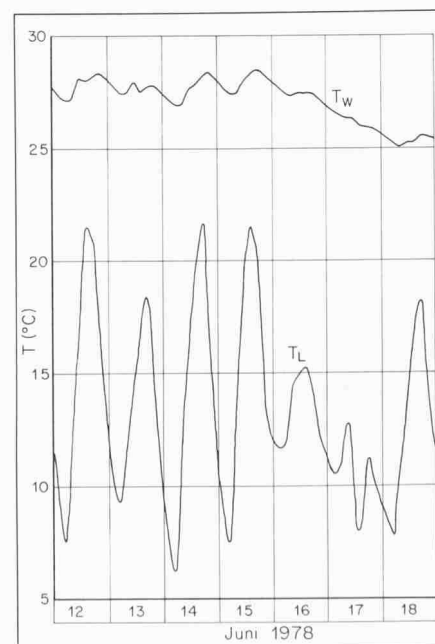


Bild 10. Wasser- und Lufttemperaturen  $T_W$  und  $T_L$  in der Zeit vom 12.-18.6.1978

rumwälzung bekannt war – nur noch mit einem Messfühler ca. 10 cm unter der Wasseroberfläche.

Gleichzeitig wurde die Aussentemperatur registriert und zwar mit wenigen Fühlern in der freien Umgebung, so dass damit auch jeweils die Besonnungszeit (nicht aber die Intensität) mitregistriert wurde.

Die Bilder 9 und 10 zeigen typische Temperatur-Kurven, die im nasskalten Sommer 1978 aufgenommen wurden.

In der sonnigen Juli-Woche (24.7.-30.7.) Bild 9) nahm die Wassertemperatur von  $27,4$  auf  $30,1^\circ C$ , d. h. um  $2,7 K$  zu. Das entspricht einer mittleren Nettoheizleistung von  $1,1 kW$ . Die Temperatur der Umgebung war dabei – abgesehen von einigen Tagesspitzen mit bis zu  $30^\circ C$  – im Mittel etwa  $10 K$  tiefer als die Wassertemperatur.

Recht schön wird die Wirksamkeit dieser durchlässigen Abdeckung in einer Kälteperiode Mitte Juni 1978 gezeigt. In dieser Zeit waren die Morgentemperaturen nie über  $12^\circ C$  und sanken sogar bis  $6^\circ C$  ab (Bild 10). Die Wassertemperatur sank dabei von  $27,7^\circ C$  auf  $25,4^\circ C$  ab, entsprechend einem mittleren Verlust von  $0,8 kW$ .

Mit Hilfe der Messwerte (gesamte Aufheiz- bzw. Abkühlrate) ist es nun unter Zuhilfenahme der gut berechenbaren Wärmeströme durch Leitung bzw. Einstrahlung möglich, die nur schätzbaren Ströme durch Leitung und Verdunstung von der Oberfläche sowie Abstrahlung genauer zu ermitteln.

Bei ganz klarer Atmosphäre ist die während 12 Stunden gemessene Aufheizung im Mittel  $1,41 K$  entsprechend einem gesamten Wärmestrom von  $295 MJ$ .

Durch Strahlung wurde eingebracht  $11 MJ/m^2$ , d. h. insgesamt  $396 MJ$ . Damit ergibt sich ein Verlust von  $100 MJ$  durch Leitung. Der Anteil davon, der bei einem  $\Delta T$  von  $20 K$  ins Erdreich geht, beträgt  $1,23 kW$  oder in  $12 h$   $53 MJ$ .

Als Leistungsanteil durch die Badabdeckung ergibt sich somit  $47 MJ$  oder  $1,1 kW$ , was recht gut mit dem für eine mittlere Temperaturdifferenz von  $10 K$  berechneten Wert übereinstimmt.

Die Temperaturabsenkung in klaren Nächten beträgt im Mittel  $0,84 K$  entsprechend einer Wärmemenge von  $176 MJ$ .

Ans Erdreich gehen in 12 Stunden  $53 MJ$  und es bleiben für die nächtlichen Verluste durch die Abdeckung noch  $123 MJ$ , was in etwa hälftig auf Abstrahlung sowie Leitung und Verdunstung aufzuteilen ist.

Damit wäre der Verlust durch Abstrahlung etwa ein Drittel des Betrages, der sich für die Abstrahlleistung ( $1,435 kW$ ) eines schwarzen Strahles von  $10^\circ C$  gegenüber einer schwarzen Atmosphäre mit im Mittel  $-40^\circ C$  ergäbe. Dies zeigt wiederum die Wirksamkeit der Doppelabdeckung.

Adresse des Verfassers: Prof. Dr. Chr. Trepp, Institut für Verfahrens- und Kältetechnik, ETH-Zentrum, 8092 Zürich.